

应用技术

羟丙基壳聚糖与表面活性剂的缓蚀协同效应

卢浩, 郭英

(中国民航大学 理学院, 天津 300300)

摘要: 目的 研究羟丙基壳聚糖(HPCS)与Tw-20、十二烷基苯磺酸钠(SDBS)在1 mol/L HCl溶液中对Q235钢的协同缓蚀作用。方法 进行Q235钢试片在1 mol/L HCl溶液中的腐蚀试验,通过失重法、动电位极化和电化学交流阻抗技术,分析HPCS及其与Tw-20,SDBS复配的缓蚀效果与机理。结果 低浓度条件下,HPCS的缓蚀性能并不显著,100 mg/L时的缓蚀效率仅为63.03%,添加0.2 mg/L Tw-20可使50 mg/L HPCS的缓蚀效率从51.73%提高到90.75%。当HPCS/Tw-20/SDBS以50,0.2,20 mg/L复配时,缓蚀效率高达93.77%,由于同时具备了非离子型和阴离子型表面活性剂的优点,其在60 ℃时缓蚀效率仍保持在71.11%。结论 Tw-20,SDBS对HPCS具有良好的协同缓蚀作用,HPCS/Tw-20和HPCS/Tw-20/SDBS复合缓蚀剂均为混合型缓蚀剂,作用机理为“几何覆盖效应”。

关键词: 羟丙基壳聚糖; Tw-20; 十二烷基苯磺酸钠; 复配缓蚀剂; 协同效应

中图分类号: TG174.42 文献标识码: A 文章编号: 1001-3660(2014)06-0069-06

Synergistic Inhibition Effect of Hydroxypropyl Chitosan and Surfactant for Carbon Steel

LU Hao, GUO Ying

(College of Science, Civil Aviation University of China, Tianjin 300300, China)

ABSTRACT: Objective To investigate the synergistic inhibition effects of HPCS, Tw-20 and sodium dodecyl benzene sulfonate (SDBS) on the corrosion of Q235 steel in 1 mol/L HCl solution. **Methods** The corrosion experiments of Q235 steel specimens immersed in 1 mol/L HCl solution were carried out. Using static weight loss method, polarization techniques and electrochemical impedance spectroscopy (EIS), the inhibition performance of HPCS and its composites were analyzed. **Results** HPCS had a low inhibition efficiency when acted alone at a relatively low concentration, and it reached the highest inhibition efficiency of only 63.03% when it acted alone with a concentration of 100 mg/L. The inhibition efficiency of HPCS and Tw-20 increased to 90.75% with a concentration ratio of 50 mg/L : 0.2 mg/L, while the inhibition efficiency was only 51.73% when HPCS acted alone with a concentration of 50 mg/L. The inhibition efficiency of HPCS/Tw-20/SDBS reached 93.77% with a concentration ratio of 50 mg/L :

收稿日期: 2014-06-26; 修订日期: 2014-09-12

Received : 2014-06-26; Revised : 2014-09-12

基金项目: 国家自然科学基金青年科学基金(21303261)

Fund: Supported by the National Natural Science Foundation of China Youth Science Foundation (21303261)

作者简介: 卢浩(1988—),男,山东人,在读研究生,主要研究方向为材料的腐蚀与防护。

Biography: LU Hao (1988—), Male, from Shandong, Postgraduate student, Research focus: corrosion and protection of materials.

通讯作者: 郭英(1958—),女,天津人,硕士,教授,主要研究方向为材料的腐蚀与防护。

Corresponding author: GUO Ying (1958—), Female, from Tianjin, Master, Professor, Research focus: corrosion and protection of materials.

0.2 mg/L : 20 mg/L, with the advantages of both non-ionic surfactant and anionic surfactant, it could maintain a relatively high inhibition efficiency of 71.11% at 60 °C. **Conclusion** Tw-20 and SDBS had a strong synergistic effect on corrosion inhibition with HPCS. And the compound inhibitors, HPCS/Tw-20 and HPCS/Tw-20/SDBS, were both mixed-type corrosion inhibitors, the inhibitor mechanism of which was coverage effect.

KEY WORDS: hydroxypropyl chitosan; Tw-20; sodium dodecyl benzene sulfonate; compound corrosion inhibitors; synergistic effect

近年来,壳聚糖(CTS)和改性CTS的缓蚀性能研究得到了人们越来越多的关注。吴茂涛等^[1]研究了水溶性CTS及其磷酸酯在海水中对碳钢的缓蚀作用;M. Abdallah等^[2]研究了羧甲基壳聚糖(CMC)及其纤维素在盐酸中对铝合金的缓蚀作用;李言涛等^[3]研究了CMC与铬酸钠、葡萄糖酸钙、硫酸锌等分别复配时,在海水中对碳钢的缓蚀作用。但是,关于羟丙基壳聚糖(HPCS)及其与表面活性剂协同效应的研究甚少。文中选用非离子表面活性剂Tw-20、阴离子表面活性剂十二烷基苯磺酸钠(SDBS),研究其与HPCS进行复配时在1 mol/L HCl溶液中对Q235碳钢的缓蚀性能及缓蚀机理。

1 缓蚀性能测试

1.1 失重法

所用Q235钢试件规格为50 mm×25 mm×2 mm,试验前用水磨砂纸逐级打磨至1000#,直至表面光亮,无划痕,然后经蒸馏水洗净,无水乙醇(AR)脱脂,洗耳球吹干,待质量恒定后,用电子天平称量,置于干燥器中备用。

配制1 mol/L HCl腐蚀溶液,将试片静态浸泡24 h,去除腐蚀产物后称量,计算质量损失、平均腐蚀速率和缓蚀效率。

平均腐蚀速率 v 计算公式为:

$$v = \frac{m_0 - m}{S \times t} \quad (1)$$

缓蚀效率 η 计算公式为:

$$\eta = \frac{v_0 - v}{v_0} \times 100\% \quad (2)$$

(1)式中, m_0 和 m 分别为Q235钢片浸泡前、后的质量,单位为g; S 是钢片的表面积,单位为 m^2 ; t 为腐蚀时间,单位为h。(2)式中, v_0 和 v 分别为未添加、添加缓蚀剂时的Q235钢片平均腐蚀速率。试验中所用的HPCS为实验室自制,SDBS为AR级,Tw-20为CP级。

1.2 电化学测试

电化学测试采用三电极体系。工作电极采用暴露面积为1 cm²的Q235碳钢圆柱,非工作面用环氧胶泥涂封,暴露面用水磨砂纸逐级打磨至1000#,再经蒸馏水冲洗和无水乙醇脱脂,吹干后置于干燥器内待用。辅助电极为铂电极,参比电极选用饱和甘汞电极。

测试前,先将电极置于待测溶液中浸泡4 h,待腐蚀电位稳定后,测量电化学阻抗谱和极化曲线。交流阻抗扫描频率范围为100 mHz~100 kHz,幅值为10 mV。动电位扫描范围为-500~500 mV,扫描速度为5 mV/s。测试都在德国IM6ex电化学工作站上进行,测试温度为20 °C,数据利用ZsimpWin和Origin8.0软件进行拟合。缓蚀效率 η 按式(3)和(4)计算,式中的 R_{ct} , R'_{ct} 和 J_{corr} , J'_{corr} 分别为加入缓蚀剂前后的转移电阻和腐蚀电流密度。

$$\eta = \left(1 - \frac{R'_{ct}}{R_{ct}} \right) \times 100\% \quad (3)$$

$$\eta = \left(1 - \frac{J'_{corr}}{J_{corr}} \right) \times 100\% \quad (4)$$

2 结果与讨论

2.1 HPCS 和 Tw-20 对 Q235 钢的缓蚀作用

图1为单独添加不同浓度HPCS或Tw-20时测得的Nyquist谱图。频谱特征都表现为单一时间常数的简单半圆容抗弧,因此使用图2所示的模拟等效电路。利用公式(3)算得缓蚀效率,图3为缓蚀效率与单一缓蚀剂浓度的关系曲线。可以看出,在一定浓度范围内,转移电阻随HPCS或Tw-20浓度的增加而增大,表明腐蚀速率降低,缓蚀作用增强。

HPCS单独作用时,在100 mg/L时的 R_{ct} 值最大,缓蚀效率仅达到63.03%,进一步提高浓度, R_{ct} 值减小,缓蚀效率降低。HPCS在Q235钢表面可能通过物理吸附或化学吸附形成吸附膜,阻滞腐蚀介质与碳

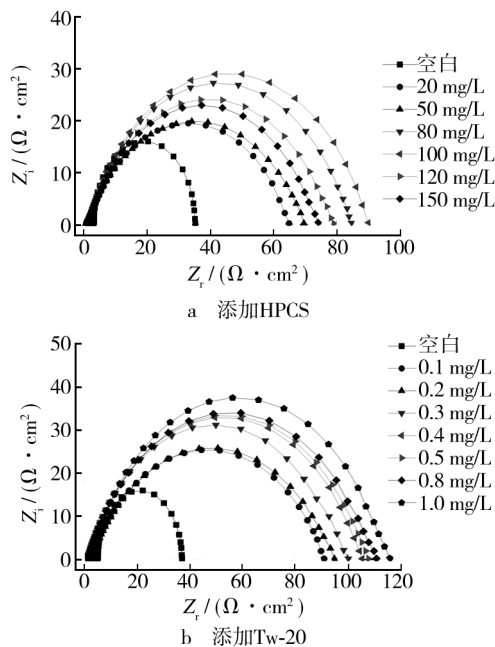


图1 添加不同浓度单一缓蚀剂时的Nyquist图

Fig. 1 Nyquist plots in the presence of different single inhibitors

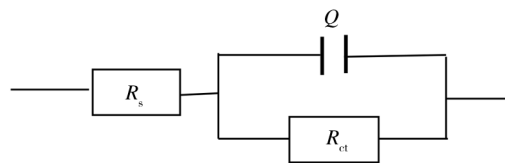
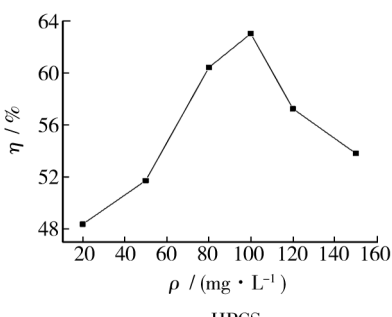
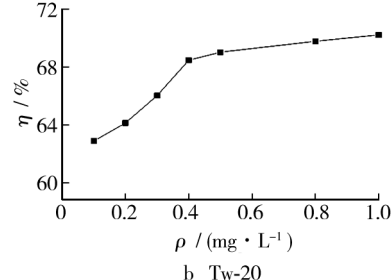


图2 等效电路图

Fig. 2 Equivalent circuit model used to fit the EIS experiment data



a HPCS



b Tw-20

图3 单一缓蚀剂浓度与缓蚀效率的关系

Fig. 3 Plot of inhibition efficiency η against inhibitor concentration of different single inhibitors

钢接触,起到一定的缓蚀作用^[4];HPCS为大分子,可以通过Vander Walls力在Q235钢表面发生物理吸附;其活性基团—OH和—NH₂中的氧原子、氮原子的孤对电子能与钢表面铁原子的空d轨道形成配位键,从而发生化学吸附。但是碳钢表面各处的吸附能力不同,HPCS分子会优先吸附在吸附能力强的活性点,这导致生成的吸附膜不均匀,HPCS单独作用时缓蚀效率较低。

Tw-20单独作用时,在0.8 mg/L时缓蚀效率达到69.78%,继续提高浓度,缓蚀效率没有明显提高。Tw-20主要通过物理吸附在固液界面形成吸附层,随着浓度的增加,吸附量增大,缓蚀效率提高;当浓度大于一定值时将接近它的胶团浓度,会生成胶团,有效单体浓度不再改变,因此缓蚀效率不再明显改变^[5]。Tw-20相对分子量较大,分子间会发生相互作用,导致形成的吸附膜不够均匀,缓蚀效率不高。

2.2 HPCS/Tw-20的协同效应

图4为未添加缓蚀剂,添加单一HPCS或Tw-20,以及添加HPCS/Tw-20复合缓蚀剂时的Nyquist谱图,阻抗谱数据解析参数列于表1。低浓度时,HPCS和Tw-20的缓蚀性能并不明显,单独添加50 mg/L HPCS时的缓蚀效率为51.73%,单独添加0.2 mg/L Tw-20时的缓蚀效率为64.14%,而二者复配后,Tw-20

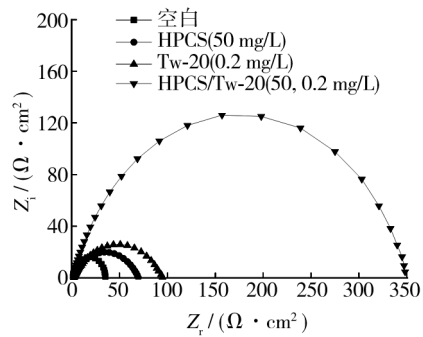


图4 添加不同缓蚀剂时的Nyquist谱图

Fig. 4 Nyquist plots in the presence of different inhibitors

表1 添加不同缓蚀剂时的Nyquist谱图拟合参数

Tab. 1 Electrochemical impedance parameters in the presence of different inhibitors

缓蚀剂	$C_d / (\times 10^{-3} \Omega^{-1} \cdot \text{cm}^{-2} \cdot \text{s}^{-n})$	$R_{ct} / (\Omega \cdot \text{cm}^2)$	$\eta / \%$
未添加	1.132	32.21	
HPCS	0.937	66.73	51.73
Tw-20	0.804	89.81	64.14
HPCS/Tw-20	0.249	348.31	90.75

对 HPCS 缓蚀的协同作用十分显著,缓蚀效率提高到 90.75%。从表 1 还可以看出,同时添加 HPCS/Tw-20 后, C_d 值大幅减小, R_{ct} 值增大,表明该复合缓蚀剂能够很好地吸附在碳钢表面,覆盖率增加^[6]。Tw-20 在固液界面形成吸附层,一方面 Tw-20 分子覆盖了水分子,溶液表面自由能降低,降低了溶液的表面张力和固液界面的界面张力,提高了碳钢表面的润湿性,增加了 HPCS 在盐酸溶液中的分散性,使 HPCS 分子能更好地吸附在碳钢表面^[7-11];另一方面,Tw-20 作为一种非离子表面活性剂,可以无选择地吸附在碳钢表面,填补 HPCS 吸附膜的空隙^[8]。HPCS 与 Tw-20 的协同效应使吸附膜更加完整,缓蚀效率大幅提高。

若 HPCS/Tw-20 复合缓蚀体系的温度升高,可导致 Tw-20 溶解度降低,部分 Tw-20 分子析出,HPCS 在溶液中的分散性降低,碳钢表面的润湿度降低^[10-11]。利用静态失重实验考察温度对 HPCS/Tw-20 复合缓蚀性能的影响,二者添加量分别为 50,0.2 mg/L,浸泡时间 24 h,缓蚀效率、腐蚀速率与温度的关系如图 5 所示。可以看出,在 20~30 °C 之间,缓蚀效率变化不大,随着温度继续升高,缓蚀效率急剧下降,60 °C 时缓蚀效率只有 37.11%。这一方面显示了 Tw-20 在常温下对提高 HPCS 缓蚀性能的协同作用;另一方面,说明非离子型表面活性剂 Tw-20 不适合在高温环境下使用。此外温度升高,分子热运动加剧,部分吸附的离子从金属基体表面脱落^[2],导致吸附膜不完整,这也导致了缓蚀效率大幅下降。

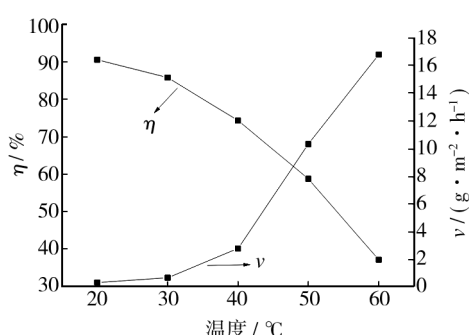


图 5 温度对 HPCS/Tw-20 缓蚀性能的影响

Fig. 5 Effect of temperature on the corrosion rate and inhibition efficiency of HPCS/Tw-20

2.3 阴离子、非离子表面活性剂与 HPCS 复配的缓蚀协同作用

图 6 为未添加缓蚀剂,添加 HPCS/Tw-20(分别为 50,0.2 mg/L),以及添加 HPCS/Tw-20/SDBS(分别为 50,0.2,20 mg/L)时的 Nyquist 谱图,阻抗谱数据解析

参数列于表 2。可以看出,在阴离子、非离子表面活性剂复配体系的作用下,缓蚀效率进一步提高,当以质量浓度 50,0.2,20 mg/L 复配时,缓蚀效率高达 93.77%。此外根据静态失重实验结果(图 7),随着温度升高,缓蚀效率降低较为平缓,在 60 °C 时仍保持在 71.11%。阴离子表面活性剂 SDBS 与非离子表面活性剂 Tw-20 的加和增效性进一步降低了表面张力^[11],使缓蚀效率进一步提高。HPCS/Tw-20/SDBS 同时具备了非离子型和阴离子型表面活性剂的优点,具有良好的耐温耐盐能力、优良的抗分解能力和分散性能^[12-14],温度升高时,吸附膜仍较致密牢固,能够保持较高的缓蚀效率。

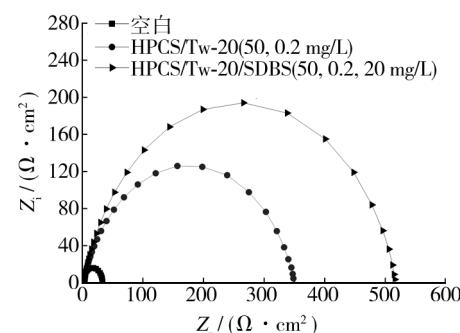


图 6 添加复合缓蚀剂时的 Nyquist 谱图

Fig. 6 Nyquist plots in the presence of compound inhibitors

表 2 添加复合缓蚀剂时的 Nyquist 谱图拟合参数

Tab. 2 Electrochemical impedance parameters in the presence of compound inhibitors

缓蚀剂	$C_d / (\times 10^{-3} \Omega^{-1} \cdot \text{cm}^{-2} \cdot \text{s}^{-n})$	$R_{ct} / (\Omega \cdot \text{cm}^2)$	$\eta / \%$
未添加	1.132	32.21	
HPCS/Tw-20	0.249	348.31	90.75
HPCS/Tw-20/SDBS	0.152	516.95	93.77

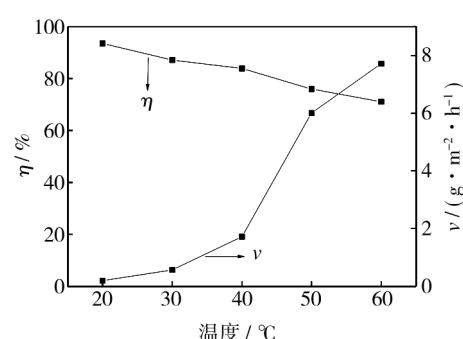


图 7 温度对 HPCS/Tw-20/SDBS 缓蚀性能的影响

Fig. 7 Effect of temperature on the corrosion rate and inhibition efficiency of HPCS/Tw-20/SDBS

2.4 极化曲线分析

图8为添加HPCS及其与Tw-20,SDBS复配时测得的极化曲线,电化学参数列于表3。由图8和表3可知,相对于空白体系,添加50 mg/L HPCS后, E_{corr} 没有明显变化,阴、阳极极化曲线均向低电流方向移动, b_c 的变化幅度大于 b_a ,推断HPCS是以抑制阴极为主的混合型缓蚀剂^[15]。添加HPCS/Tw-20(50,0.2 mg/L)或HPCS/Tw-20/SDBS(50,0.2,20 mg/L)后,腐蚀电流密度大幅减小,说明对碳钢腐蚀有很好的抑制作用。 E_{corr} 没有明显变化,阴、阳极极化曲线均向低电流方向移动,说明复合缓蚀剂对阳极和阴极过程均有一定的抑制作用^[15],且 b_a 和 b_c 变化幅度基本相

同,推断两种复合缓蚀剂均为混合型缓蚀剂,作用机理为“几何覆盖效应”^[16]。

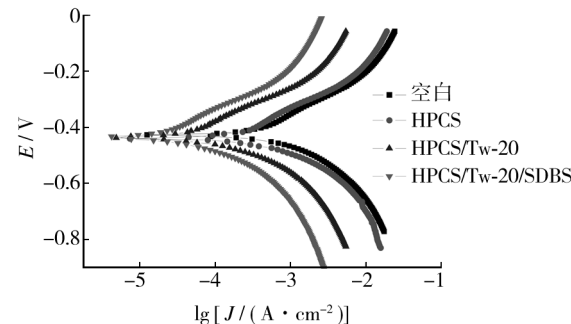


图8 添加不同缓蚀剂时的极化曲线

Fig. 8 Potentiodynamic polarization curves in the presence of different inhibitors

表3 Tafel极化曲线参数
Tab. 3 Tafel polarization curve parameters

缓蚀剂	E_{corr}/V	$b_a/(mV \cdot dec^{-1})$	$b_c/(mV \cdot dec^{-1})$	$J_{corr}/(\mu A \cdot cm^{-2})$	$\eta/\%$
未添加	-0.427	128.39	-68.95	258.60	
HPCS	-0.440	132.31	-54.04	133.37	48.43
HPCS/Tw-20	-0.437	110.77	-60.72	24.43	90.55
HPCS/Tw-20/SDBS	-0.436	118.01	-62.20	16.27	93.71

3 结论

1) HPCS 为以抑制阴极为主的混合型缓蚀剂。单独添加 HPCS 时,由于选择性吸附,其对 Q235 钢在 HCl 体系中的缓蚀作用并不显著,添加 100 mg/L 时的缓蚀效率仅为 63.03%。

2) Tw-20 与 HPCS 具有良好的协同缓蚀作用,添加 0.2 mg/L Tw-20 可使 50 mg/L HPCS 对 Q235 钢在 HCl 体系中的缓蚀效率从 51.73% 提高到 90.75%。温度升高会导致 Tw-20 溶解度降低,部分 Tw-20 分子析出,减弱其对 HPCS 的协同缓蚀作用,60 ℃ 时的缓蚀效率只有 37.11%。

3) Tw-20 与 SDBS 的加和增效性使缓蚀效率进一步提高,当 HPCS/Tw-20/SDBS 以 50,0.2,20 mg/L 复配时,缓蚀效率高达 93.77%。由于其同时具备了非离子型和阴离子型表面活性剂的优点,具有良好的耐温耐盐能力、优良的抗分解能力和分散性能,温度升高时吸附膜仍较致密牢固,因此 60 ℃ 时缓蚀效率保持在 71.11%。

4) HPCS/Tw-20 和 HPCS/Tw-20/SDBS 复合缓蚀剂均为混合型缓蚀剂,作用机理为“几何覆盖效应”。

参考文献

- [1] 吴茂涛,李言涛,李再峰,等.水溶性壳聚糖及其磷酸酯在海水中对碳钢的缓蚀作用[J].中国腐蚀与防护学报,2010,30(3):192—197.
WU Mao-tao, LI Yan-tao, LI Zai-feng, et al. Corrosion Inhibition Performance of Chitosan and Phosphonic Chitosan for Mild Steel in Seawater [J]. Journal of Chinese Society for Corrosion and Protection, 2010, 30(3): 192—197.
- [2] ABDALLAH M, ZAAFARANY I, FAWZY A, et al. Inhibition of Aluminum Corrosion in Hydrochloric Acid by Cellulose and Chitosan [J]. Journal of American Science, 2013, 9(4): 580—586.
- [3] 李言涛,吴茂涛,姜信德,等.羧甲基壳聚糖与其他缓蚀剂的协同缓蚀效能[J].装备环境工程,2010,7(1):1—5.
LI Yan-tao, WU Mao-tao, JIANG Xin-de, et al. Synergistic Inhibition Effect of Carboxymethyl Chitosan Compounds with other Inhibitive Components [J]. Equipment Environmental Engineering, 2010, 7(1): 1—5.
- [4] 杨宗海,杨小玲,施兵兵.吸附型缓蚀剂的缓蚀率与吸附热及吸附分子间相互作用能的关系[J].中国腐蚀与防护学报,1990,10(4):346—354.
YANG Zong-hai, YANG Xiao-ling, SHI Bing-bing. The Re-

- lationship of Inhibition Efficiency with Heat of Adsorption and Lateral Interaction Energy of Adsorbed Molecules for Adsorption Inhibitor [J]. Journal of Chinese Society for Corrosion and Protection, 1990, 10(4): 346—354.
- [5] 白玮, 李向红, 邓书端, 等. 吐温-40 对冷轧钢在盐酸溶液中的缓蚀作用 [J]. 腐蚀科学与防护技术, 2010, 22(3): 200—202.
BAI Wei, LI Xiang-hong, DENG Shu-duan, et al. Corrosion Inhibition of Tween-40 for Cold Rolled Steel in Hydrochloric Acid Solution [J]. Corrosion Science and Protection Technology, 2010, 22(3): 200—202.
- [6] ABD EL REHIM S S, HASSAN H H, AMIN M A. The Corrosion Inhibition Study of Sodium Dodecyl Benzene Sulphonate to Aluminum and Its Alloys in 1.0M HCl Solution [J]. Materials Chemistry and Physics, 2002(78): 337—348.
- [7] 万家瑰. 酸化缓蚀剂与表面活性剂的协同效应评价 [J]. 科学技术与工程, 2009, 9(13): 3752—3754.
WAN Jia-gui. Evaluation on Synergistic Effect of Acidizing Corrosion Inhibitor and Surfactant [J]. Science Technology and Engineering, 2009, 9(13): 3752—3754.
- [8] 郭英, 宋诗哲. 盐酸介质中 Tw-20 与聚丙烯酸对铁腐蚀的协同缓蚀作用 [J]. 化工学报, 2001, 52(3): 262—265.
GUO Ying, SONG Shi-zhe. Synergistic Inhibition of Tw-20 and Polyacrylic Acid on Iron Corrosion in Hydrochloric Acid [J]. Journal of Chemical Industry and Engineering (China), 2001, 52(3): 262—265.
- [9] 颜肖慈, 罗明道. 界面化学 [M]. 北京: 化学工业出版社, 2005.
YAN Xiao-ci, LUO Ming-dao. Interfacial Chemistry [M]. Beijing: Chemical Industry Press, 2005.
- [10] 董国君, 苏玉, 王桂香. 表面活性剂化学 [M]. 北京: 北京理工大学出版社, 2009.
- (上接第 47 页)
- [14] 鲁远曙, 左卫, 王玉龙. 海洋性气候电子设备铝合金结构腐蚀防护研究 [J]. 装备环境工程, 2008, 5(3): 71—75.
LU Yuan-shu, ZUO Wei, WANG Yu-long. Research on the Corrosion and Protection of Electronic Equipment Aluminum Alloy Structure in Maritime Climate [J]. Materiel Environmental Engineering, 2008, 5(3): 71—75.
- [15] PECH-CANUL M A, CASTRO P. Corrosion Measurements of Steel Reinforcement in Concrete Exposed to a Tropical Marine Atmosphere [J]. Cement and Concrete Research, 2002, 32(3): 491—498.
- [16] RAN J, ZHANG J Z, YAO W Q, et al. Properties of Cu Film and Ti/Cu Film on Polyimide Prepared by Ion Beam Techniques [J]. Appl Surf Sci, 2010, 256(23): 7010—7017.
- DONG Guo-jun, SU Yu, WANG Gui-xiang. Surfactant Chemistry [M]. Beijing: Beijing Institute of Technology Press, 2009.
- [11] 王世荣, 李祥高, 刘东志, 等. 表面活性剂化学 [M]. 北京: 化学工业出版社, 2010.
WANG Shi-rong, LI Xiang-gao, LIU Dong-zhi, et al. Surfactant Chemistry [M]. Beijing: Chemical Industry Press, 2010.
- [12] 杨秀全, 徐长卿, 黄海. 一类新型多功能性表面活性剂: 烷基醚羧酸及其盐 [J]. 日用化学工业, 1998(1): 26—33.
YANG Xiu-quan, XU Chang-qing, HUANG Hai. A New Type of Multifunctional Surfactant Alkylether Carboxylic Acid and Its Salt [J]. China Surfactant Detergent & Cosmetics, 1998(1): 26—33.
- [13] BINANA-LIMBLE W, ZAZA R, PLATONE E. Micellar Properties of Ethoxylated Sodium Alkylcarboxylates [J]. J Colloid Inter Sci, 1988(124): 647.
- [14] 唐红娇, 侯吉瑞, 赵凤兰, 等. 油田用非离子型及阴-非离子型表面活性剂的应用进展 [J]. 油田化学, 2011, 28(1): 115—118.
TANG Hong-jiao, HOU Ji-rui, ZHAO Feng-lan, et al. Application Progress of Nonionic and Anionic-Nonionic Surfactants Used in Oil Field [J]. Oilfield Chemistry, 2011, 28(1): 115—118.
- [15] 王军, 栾立辉, 杨许召, 等. 季铵盐双子表面活性剂的缓蚀性能研究 [J]. 腐蚀科学与防护技术, 2010, 22(3): 203—206.
WANG Jun, LUAN Li-hui, YANG Xu-zhao, et al. Corrosion Inhibition Performance of a Cationic Gemini Surfactant HD-MB [J]. Corrosion Science and Protection Technology, 2010, 22(3): 203—206.
- [16] CAO C N. On Electrochemical Techniques for Interface Inhibitor Research [J]. Corms Sci, 1996, 38(12): 2073—2082.
- [17] HE Y, ZHANG J Z, YAO W Q, et al. Effect of Temperature on Residual Stress and Mechanical Properties of Ti Films Prepared by Both Ion Implantation and Ion Beam Assisted Deposition [J]. Appl Surf Sci, 2009, 255(8): 4484—4490.
- [18] KAWWAM M, ALHARBI F H, KAYED T, et al. Characterization of CuO(111)/MgO(100) Films Grown under Two Different PLD Backgrounds [J]. Appl Surf Sci, 2013, 276: 7—12.
- [19] SCUDIERO L, FASASI A, GRIFFITHS P R, et al. Characterization of a Controlled Electroless Deposition of Copper Thin Film on Germanium and Silicon Surfaces [J]. Appl Surf Sci, 2011, 257(9): 4422—4427.
- [20] ISO 18115:2001. Surface Chemical Analysis-Vocabulary [S].